

Clase anterior

- Evolución estelar. Estrellas de baja masa ($M \leq 8 M_{sol}$) y de alta masa.
- Enanas blancas.
- Gas de Fermi. Degeneración de electrones. Longitud de *de Broglie*.
- Función de distribución de Fermi-Dirac. Cálculo de densidad, energía interna y presión.
- Caso no relativista: $p \propto \rho^{5/3}$

Enanas blancas ultra-relativistas

- Hasta ahora hemos considerado efectos cuánticos de los electrones (fermiones), pero no los efectos relativistas.

- Hemos supuesto $E = \frac{p^2}{2m}$. Pero si los electrones tuvieran $v_e \sim c$, entonces

$$E^2 = m_e^2 c^4 + p^2 c^2$$

$$d^3p = 4\pi p^2 dp = \frac{4\pi}{c^3} \sqrt{E^2 - m_e^2 c^4} E dE = \begin{cases} 4\pi m_e \sqrt{2m_e E} dE & (\text{si } p/m_e \ll c \text{ clásico}) \\ \frac{4\pi}{c^3} E^2 dE & (\text{si } p/m_e \gg c \text{ ultra-relat}) \end{cases}$$

- En el límite ultra-relativista

$$n_e = \frac{8\pi}{c^3 h^3} \int_0^\infty \frac{dE E^2}{e^{\frac{E-E_F}{kT}} + 1} \approx \frac{8\pi}{c^3 h^3} \int_0^{E_F} dE \cdot E^2 = \frac{8\pi}{c^3 h^3} \frac{E_F^3}{3}$$

$$U = \frac{8\pi}{c^3 h^3} \int_0^\infty \frac{dE \cdot E^3}{e^{\frac{E-E_F}{kT}} + 1} \approx \frac{8\pi}{c^3 h^3} \frac{E_F^4}{4}$$

- Para la presión, debemos volver a integrar por partes:

$$P_e = \frac{8\pi}{c^3 h^3} kT \int_0^\infty dE E^2 \ln \left(1 + e^{\frac{E_F-E}{kT}} \right) = \frac{U}{3}$$

- La ecuación de estado para un gas de Fermi ultra-relativista resulta

$$P_e \approx \frac{hc}{8} \left(\frac{3}{\pi} \right)^{1/3} n_e^{4/3}$$

Corresponde

a Lane-Emden con $n=3$

Revisemos las leyes de escala para equilibrios politrópicos

$$\left. \begin{array}{l} M(r) = 4\pi \int_0^r dr r^2 P \\ \frac{dp}{dr} = -\frac{P GM(r)}{r^2} \\ P \propto C \cdot r^a \end{array} \right\} \begin{array}{l} R \sim M^{\frac{a-2}{3a-4}} \\ P \sim M^{\frac{2}{3a-4}} \end{array}$$

$$a=1 \rightarrow T=T_x \quad \begin{array}{l} R \sim M \\ P \sim M^{-2} \end{array}$$

$$a=5/3 \rightarrow \begin{array}{l} \text{enanas blancas} \\ \text{no relat.} \end{array} \rightarrow \begin{array}{l} R \sim M^{-1/3} \\ P \sim M^2 \end{array}$$

Muy diferentes!

$$a=4/3 \rightarrow \begin{array}{l} \text{enanas blancas} \\ \text{ultra-relat} \end{array} \rightarrow M = \text{cte} ?$$



Masa de Chandrasekhar

- La llamada **masa de Chandrasekhar** es un límite superior para las enanas blancas, superado el cual la presión de electrones no logra balancear a la gravedad.
- Fue obtenida por Subrahmanyan Chandrasekhar en 1931, quien muchos años después obtuvo el premio Nobel por sus estudios de interiores estelares.

- Sean N electrones y protones libres ($N_e = N_p$) formando una estrella de radio R_* . Cada electrón tiene un "tamaño" λ . Entonces

$$N\lambda^3 \approx R_*^3$$

- El impulso de cada fermión es

$$\beta_F \sim \frac{h}{\lambda} \sim \frac{hN^{1/3}}{R_*}$$

- La energía en el límite ultra-relativista es

$$E_F = \beta_F c \sim \frac{hc}{R_*} N^{1/3}$$

y la energía cinética total:

$$NE_F \sim \frac{hc}{R_*} N^{4/3}$$

- La energía gravitatoria es aportada por los protones

$$E_G = - \frac{G(m_p N)^2}{R_*}$$

- En equilibrio obtenemos el valor crítico

$$hc N_{ch}^{4/3} \sim G m_p^2 N_{ch}^2 \rightarrow N_{ch} \sim \left(\frac{hc}{G}\right)^{3/2} \frac{1}{m_p^3}$$

- La masa de Chandrasekhar es simplemente

$$M_{ch} = m_p N_{ch} \sim \left(\frac{hc}{G}\right)^{3/2} \frac{1}{m_p^2}$$

$$M_{Planck} = \sqrt{\frac{hc}{G}}$$

- Una estimación adecuada de $M_{ch} \sim 1.4 M_{sol}$

- Para $N > N_{ch}$ es $E_G > NE_F \rightarrow$ colapso

Estrellas de neutrones y agujeros negros

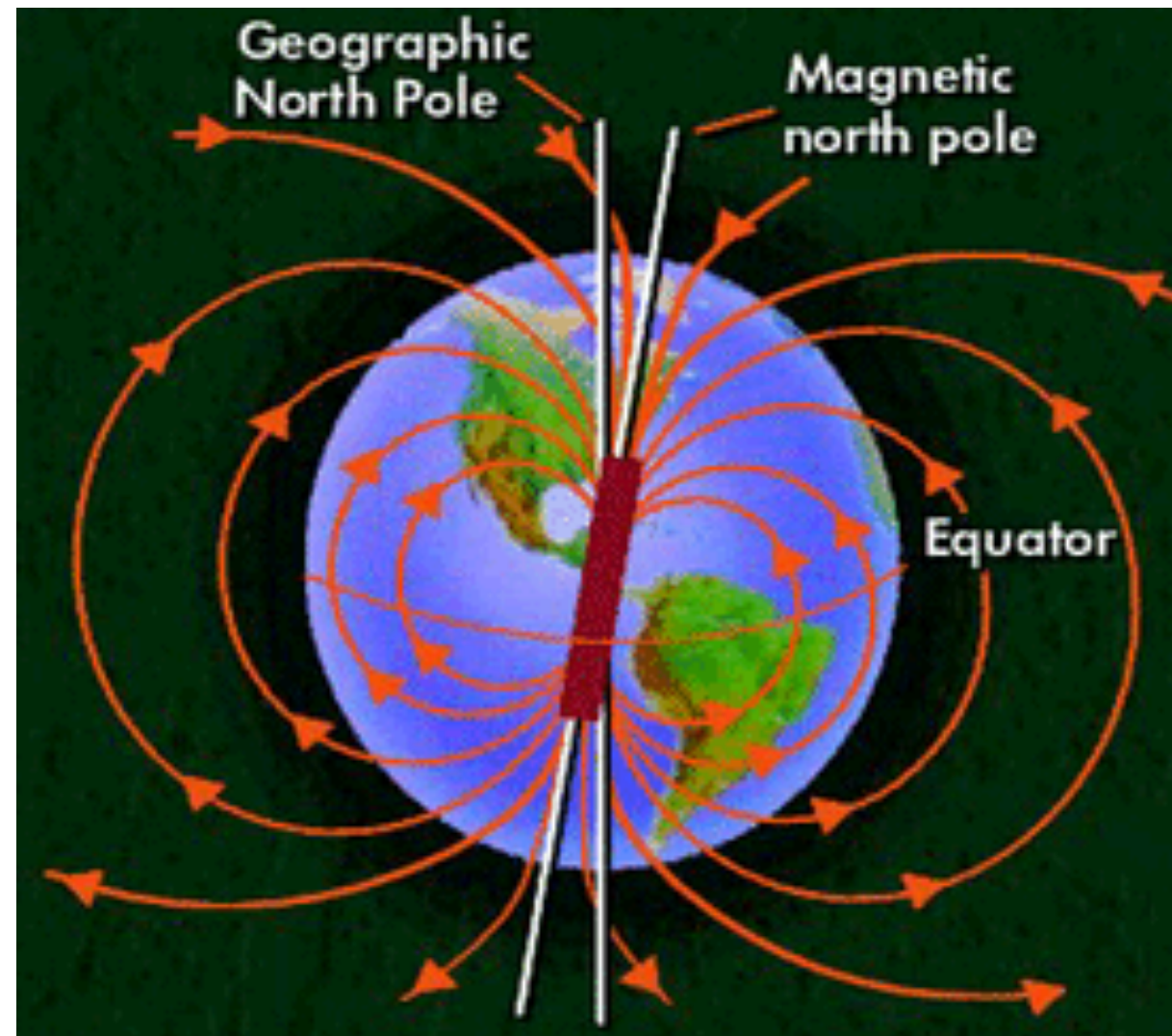
- Si una estrella que agotó su combustible nuclear tiene $M < M_{Ch} \approx 1.46 M_{sol}$, se transformará en **enana blanca**.
- Pueden probar obtener la masa de Chandrasekhar resolviendo Lane-Emden para $n = 3$
- Si $M > M_{Ch}$, entonces la presión de Fermi de electrones será insuficiente y continuará colapsando.
- Si $M \approx 2 - 3 M_{sol}$ --> estrella de neutrones
- Si $M \geq 2 - 3 M_{sol}$ --> agujero negro
- En las **estrellas de neutrones**, las densidades son mucho mas altas que para enanas blancas. Los neutrones no sobreviven en estado libre porque decaen en: $n \rightarrow p + e + \hat{\nu}$. Pero a altas densidades, se favorece el proceso inverso: $p + e \rightarrow n + \nu$. Los neutrones se comportan tambien como un gas de Fermi con longitud de *de Broglie* mucho mas compacta.
- Para evaluar si necesitamos (o no) recurrir a **Relatividad General**, pensemos por ejemplo en la velocidad de escape de un objeto de masa M y radio R es $v_{esc}^2 = 2GM/R$. Es decir que se requieren velocidades mayores para escapar de objetos de mayor M o de menor R . Si se necesita alcanzar a velocidades $v_{esc} \approx c$ para poder escapar, entonces debemos considerar Relatividad General.
- En síntesis, debemos recurrir a Relatividad General si

$$f = \frac{2GM}{c^2R} \approx 1$$

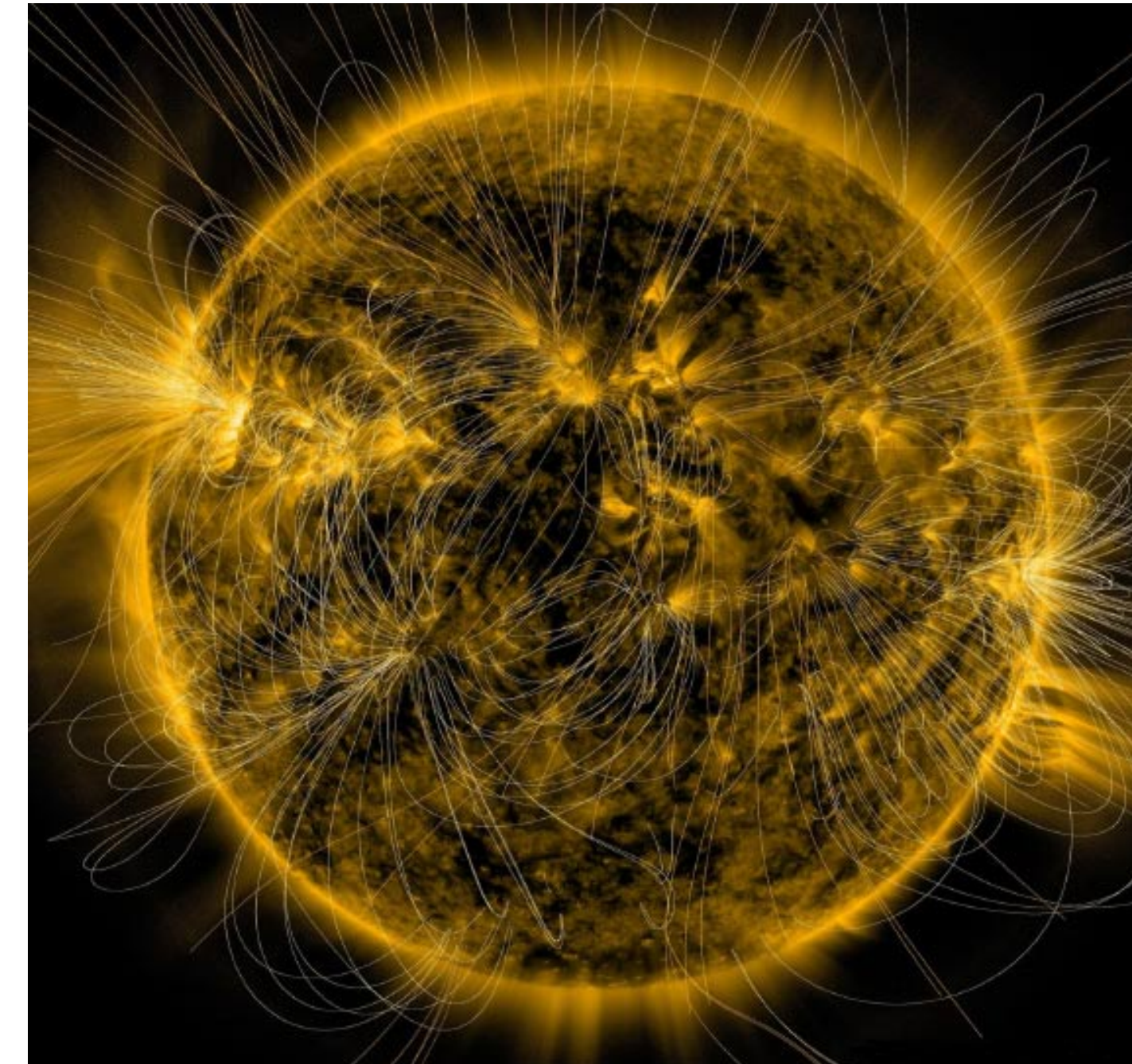
- Por lo general $f \ll 1$. Para la masa y radio del Sol, por ejemplo es $f_{sol} \approx 5 \cdot 10^{-6}$. Para una estrella de neutrones, con $M \approx 2M_{sol}$ y un radio de 10 km, es $f_{neu} \approx 0.6$, es decir, que los efectos de Relatividad General empiezan a importar.

Campos magnéticos en Astrofísica

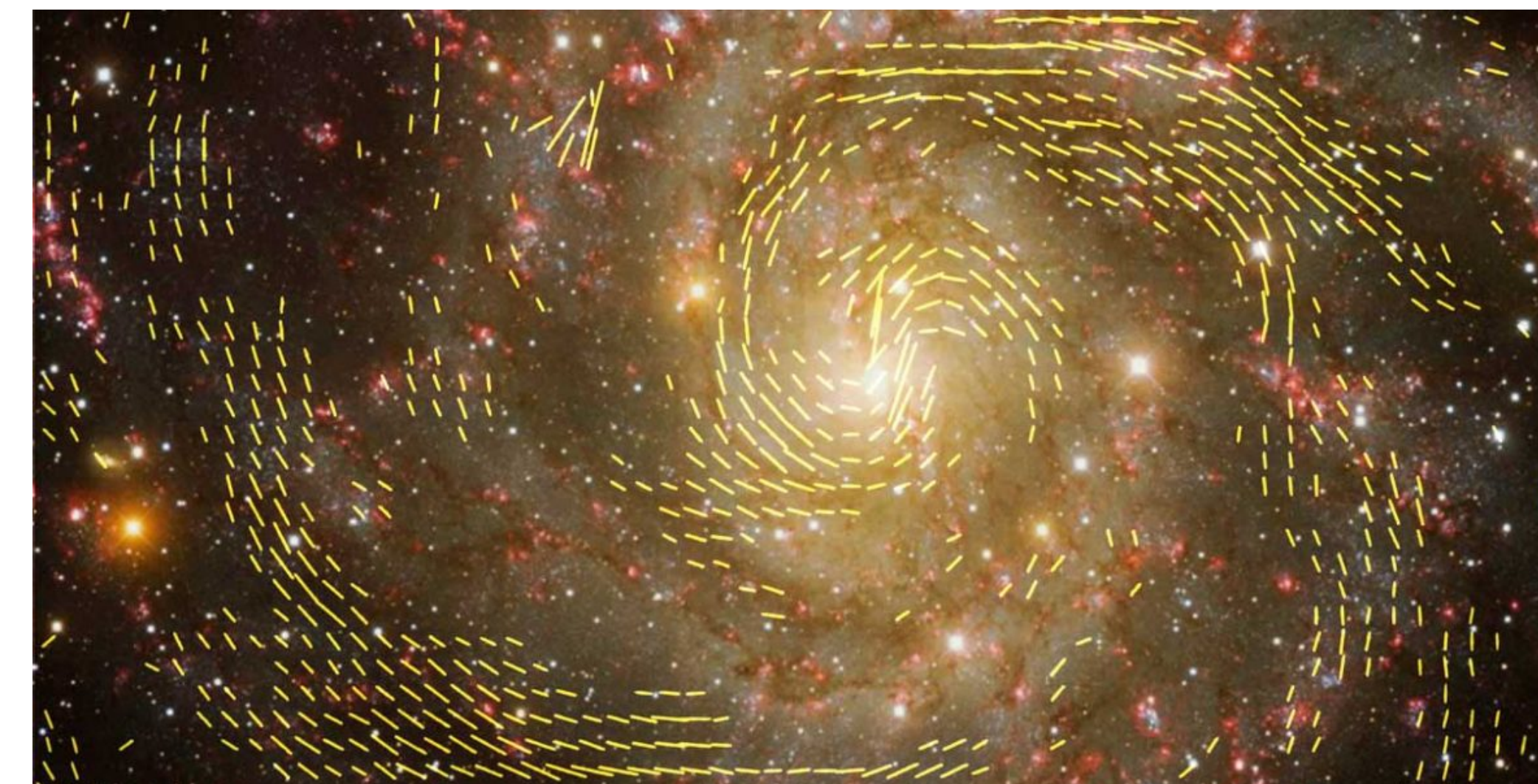
- Hasta ahora nos ocupamos de la interacción de **materia** con **radiación** por un lado y con el **campo gravitatorio** por el otro.
- Pero el hidrógeno, a temperaturas por encima de 8000 K es un gas electricamente cargado, es decir un **plasma**, y por lo tanto interactúa tambien con campos eléctrico y magnético.
- Tenemos campos magnéticos asociados con virtualmente todos los objetos astrofísicos:



En la Tierra y en la mayoría de los **planetas** del sistema solar



En el Sol y en **estrellas** de todos los tipos espectrales.



En la vía Lactea y en todas las **galaxias**.

Dinámica de fluidos cargados

- Necesitamos ecuaciones para la dinámica de **plasmas**. En el caso más simple, supongamos hidrógeno totalmente ionizado.
- Podemos pensar en una descripción de dos fluidos: **electrones** de masa m_e y carga $-e$ y **protones** de masa m_p y carga $+e$.

$$\partial_t (m_s n_s) + \nabla \cdot (m_s n_s \underline{u}_s) = 0 \quad s = e, p$$

$$m_s n_s \left[\partial_t \underline{u}_s + (\underline{u}_s \cdot \nabla) \underline{u}_s \right] = q_s n_s \left(\underline{E} + \frac{1}{c} \underline{u}_s \times \underline{B} \right)$$

$$-\underline{\nabla} p_s \pm \underline{R}$$

- La primera es la ec. continuidad para c/espécie.
- La segunda es la ec. movimiento por unidad de volumen, con fuerzas eléctrica y magnética.
 \underline{R} es la fuerza de fricción (colisional) entre especies.
- Esta fuerza es proporcional a la frecuencia colisional ν_{ep} y para los electrones vale

$$\underline{R} = -m_e n_e \nu_{ep} (\underline{u}_e - \underline{u}_p)$$

NOTA: $m_e n_e \nu_{ep} = m_p n_p \nu_{pe}$

- Ese gas de dos especies tiene densidad de carga $p_c = e(n_p - n_e) \approx 0 \rightarrow n_e = n_p$ porque los electrones se mueven inmediatamente para neutralizar.

- También conlleva una densidad de corriente

$$\underline{j} = \sum_s q_s n_s \underline{u}_s \rightarrow \underline{j} = e n (\underline{u}_p - \underline{u}_e)$$

- Noten que entonces \underline{R} puede escribirse en términos de \underline{j} :

$$\underline{R} = \frac{m_e \nu_{ep}}{e} \underline{j} = \frac{e n}{\sigma} \underline{j}$$

donde σ es la conductividad eléctrica de un plasma.

Descripción Magnetohidrodinámica (MHD)

- Suponiendo $m_e \ll m_p$, este fluido de dos especies tiene

$$\rho = m_p n_p + m_e / n_e \approx m_p n$$

$$\underline{u} = \frac{m_p n_p \underline{u}_p + m_e / n_e \underline{u}_e}{m_p n_p + m_e / n_e} \approx \underline{u}_p$$

$$p = p_p + p_e$$

- La ecuación de continuidad resulta

$$\partial_t \rho + \nabla \cdot (\rho \underline{u}) = 0$$

- Si sumamos las ecs. movimiento :

$$\rho [\partial_t \underline{u} + (\underline{u} \cdot \nabla) \underline{u}] = e_n (\underline{E} + \frac{1}{c} \underline{u}_p \times \underline{B}) - \nabla p_p - R$$

$$0 = -e_n (\underline{E} + \frac{1}{c} \underline{u}_e \times \underline{B}) - \nabla p_e + R$$

$$\rho [\partial_t \underline{u} + (\underline{u} \cdot \nabla) \underline{u}] = \frac{1}{c} \underline{j} \times \underline{B} - \nabla p$$

- Noten que la fuerza eléctrica sobre el fluido es nula (pero $\underline{E} \neq 0$) y la fuerza de fricción también.

- Sumando las ecs. obtuvimos la ec. movimiento del fluido. Pero nos falta otra ecuación.

- De la ecuación para los electrones, podemos despejar el campo \underline{E} :

$$\underline{E} = -\frac{1}{c} \left(\underline{u} - \frac{\underline{j}}{e_n} \right) \times \underline{B} - \frac{1}{e_n} \nabla p_e + \frac{1}{c} \underline{j}$$

- Esta ecuación es la llamada ley de Ohm generalizada. Hemos utilizado

$$\underline{j} = e_n (\underline{u} - \underline{u}_e) \rightarrow \underline{u}_e = \underline{u} - \frac{1}{e_n} \underline{j}$$

- Para densidades no demasiado bajas, podemos despreciar los términos " $\frac{1}{e_n}$ " y obtener

$$\underline{E} + \frac{1}{c} \underline{u} \times \underline{B} \approx \frac{1}{c} \underline{j} \quad \text{Ley de Ohm}$$

- Si tenemos en cuenta que $\underline{E}^* = \underline{E} + \frac{1}{c} \underline{u} \times \underline{B}$ es el campo en el referencial del fluido, tenemos la ley de Ohm de cualquier medio conductor.

Descripción Magnetohidrodinámica (MHD)

- Los campos \underline{E} y \underline{B} no son en general campos externos conocidos, sino campos autoconsistente. Nos falta entonces una ecuación para \underline{B} .
- Tomamos el " $\nabla \times$ " de la ley de Ohm y recurrimos a las ecs. Maxwell:

$$\nabla \times \left(\underline{E} + \frac{1}{c} \underline{u} \times \underline{B} \right) = \frac{1}{\sigma} \nabla \times \underline{j}$$

$$\begin{aligned} \nabla \times \underline{E} = -\frac{1}{c} \partial_t \underline{B} \\ \underline{j} = \frac{c}{4\pi} \nabla \times \underline{B} \end{aligned} \quad \rightarrow -\frac{1}{c} \partial_t \underline{B} + \frac{1}{c} \nabla \times (\underline{u} \times \underline{B}) = \frac{c}{4\pi\sigma} \nabla \times (\nabla \times \underline{B})$$

$$\nabla \cdot \underline{B} = 0 \rightarrow \boxed{\partial_t \underline{B} = \nabla \times (\underline{u} \times \underline{B}) + \eta \nabla^2 \underline{B}}$$

donde $\eta = \frac{c^2}{4\pi\sigma}$: resistividad Ecuación de inducción

- Con la ecuación de inducción completamos entonces el sistema de ecuaciones MHD.

Ecs. MHD

$$\begin{cases} \partial_t p + \nabla \cdot (p \underline{u}) = 0 \\ \partial_t \underline{u} = -(\underline{u} \cdot \nabla) \underline{u} - \frac{1}{\rho} \nabla p + \frac{1}{4\pi\rho} (\nabla \times \underline{B}) \times \underline{B} \\ \partial_t \underline{B} = \nabla \times (\underline{u} \times \underline{B}) + \eta \nabla^2 \underline{B} \\ \underline{E} + \frac{1}{c} \underline{u} \times \underline{B} = \frac{1}{\sigma} \underline{j} \end{cases}$$

Para comparar la importancia relativa de los términos del lado derecho de la ecuación de inducción, definimos el número de Reynolds magnético

$$R_m = \frac{\| \nabla \times (\underline{u} \times \underline{B}) \|}{\eta \| \nabla^2 \underline{B} \|} \sim \frac{u_0 B_0 / L_0}{\eta B_0 / L_0^2} \sim \frac{u_0 L_0}{\eta}$$

$R_m = \frac{u_0 L_0}{\eta} \ll 1 \rightarrow \partial_t \underline{B} \sim \eta \nabla^2 \underline{B} \rightarrow$ difusión de \underline{B}

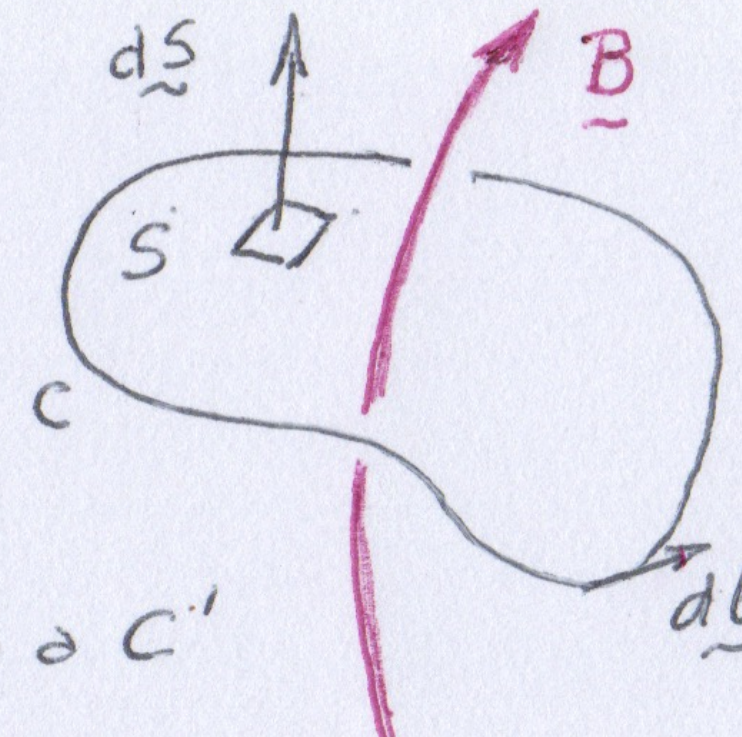
$R_m = \frac{u_0 L_0}{\eta} \gg 1 \rightarrow \partial_t \underline{B} \sim \nabla \times (\underline{u} \times \underline{B}) \rightarrow$ congelamiento campo-materia

Congelamiento campo-materia

- Mostraremos que la ecuación $\partial_t \underline{B} = \nabla \times (\underline{u} \times \underline{B})$ implica que las líneas de \underline{B} son adveptadas.

- Sea C una curva cerrada que se mueve con el plasma. El flujo de \underline{B} a través de S en t es:

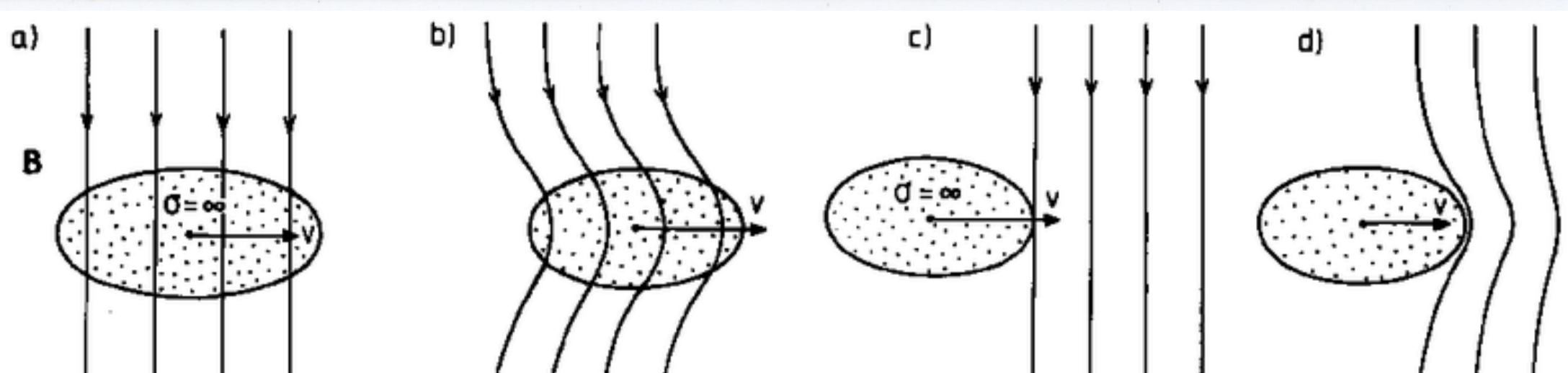
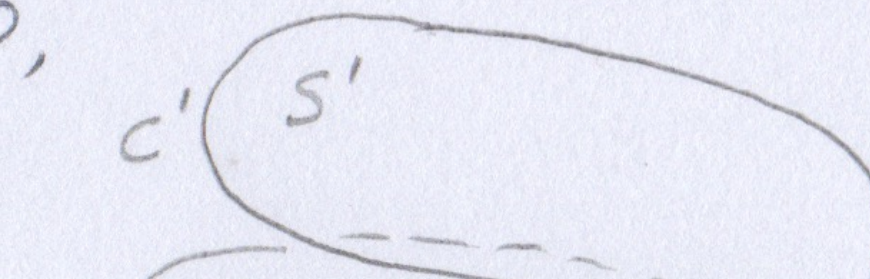
$$\Phi(S, t) = \iint_S d\underline{S} \cdot \underline{B}$$



- Entre t y $t + \Delta t$, C evoluciona a C'

y S a S' . Como $\nabla \cdot \underline{B} = 0$, el flujo en una superficie cerrada es:

$$0 = \iint d\underline{S} \cdot \underline{B} = - \iint_S d\underline{S} \cdot \underline{B} + \iint_{S'} d\underline{S} \cdot \underline{B} + \oint_C d\underline{l} \times \underline{u} \Delta t \cdot \underline{B}$$



- El flujo de \underline{B} en S' a $t + \Delta t$ es

$$\Phi(S', t + \Delta t) = \iint_{S'} d\underline{S} \cdot [\underline{B} + \Delta t \partial_t \underline{B}] \approx \iint_{S'} d\underline{S} \cdot \underline{B} + \Delta t \iint_{S'} d\underline{S} \cdot \partial_t \underline{B}$$

- Entonces:

$$\Phi(S', t + \Delta t) - \Phi(S, t) = \underbrace{\iint_{S'} d\underline{S} \cdot \underline{B}}_{\text{st } \oint_C d\underline{l} \times \underline{u} \cdot \underline{B}} - \underbrace{\iint_S d\underline{S} \cdot \underline{B}}_{\text{st } \oint_C d\underline{l} \times \underline{u} \cdot \underline{B}} + \Delta t \iint_S d\underline{S} \cdot \partial_t \underline{B}$$

- Usando el teorema de Stokes:

$$\frac{d\Phi}{dt} = \frac{\Phi(S', t + \Delta t) - \Phi(S, t)}{\Delta t} = \iint_S d\underline{S} \cdot [\partial_t \underline{B} - \nabla \times (\underline{u} \times \underline{B})] = 0$$

- Es decir que para $R_m \rightarrow \infty$, se conserva el flujo magnético que atraviesa cualquier curva cerrada que se mueve con el plasma.

- El congelamiento implica que los elementos de fluido arrastran en su movimiento a las líneas de \underline{B} que los atraviesan.

- Inversamente, las líneas de \underline{B} arrastran a los elementos de fluido enhebrados a ellas.